

## Дислокационно-кинетический анализ откольного разрушения ГЦК- и ОЦК-кристаллов при ударно-волновом нагружении

© Г.А. Малыгин<sup>1</sup>, С.Л. Огарков<sup>2</sup>, А.В. Андрияш<sup>2</sup>

<sup>1</sup> Физико-технический институт им. А.Ф. Иоффе РАН, Санкт-Петербург, Россия

<sup>2</sup> Всероссийский научно-исследовательский институт автоматики им. Н.Л. Духова, Москва, Россия

E-mail: malygin.ga@mail.ioffe.ru

(Поступила в Редакцию 26 марта 2015 г.)

В рамках дислокационно-кинетической модели образования и распространения ударных волн в кристаллах при их интенсивном ударно-волновом нагружении обсуждается механизм откольного разрушения кристаллов на микро- и макроуровнях с учетом эмпирических данных, имеющихся в литературе. Установлено, что на макроуровне время откольного разрушения  $t_f$  для кристаллов Cu, Ni,  $\alpha$ -Fe и Ta в интервале времен  $10^{-6}$ – $10^{-9}$  с изменяется с давлением в волне  $\sigma$  как  $t_f = \varepsilon_f / \dot{\varepsilon} = K_f (E/\sigma)^4$ , где  $\dot{\varepsilon} = K_\sigma (\sigma/E)^4$  — скорость пластической деформации согласно соотношению Свигла–Грэди,  $K_f$ ,  $K_\sigma$  и  $\varepsilon_f = K_f K_\sigma \approx 3$ –5% — соответственно коэффициенты и деформация откольного разрушения, не зависящие от давления,  $E$  — модуль Юнга. На микроуровне проведен дислокационно-кинетический расчет зон пластической деформации вокруг зародышей пор как концентраторов напряжений и мест локализации деформации на фронте ударной волны. Показано, что коалесценция пор и образование откольной трещины являются результатом суперпозиции касательных напряжений и пластических деформаций в перемычках между порами при сужении перемычек до размера порядка двух размеров пор.

### 1. Введение

Ударно-волновые эксперименты показывают, что монокристаллические образцы чистых металлов обладают более высоким сопротивлением откольному разрушению (spallation) [1] по сравнению с бикристаллами [2], поликристаллами [3] и нанокристаллическими материалами [4,5]. Сопротивление отколу монокристаллических образцов, однако, снижается, если они содержат частицы выделений [6] или окислов [3,7]. Как и границы зерен, преципитаты являются концентраторами напряжений и местами зарождения нанопор и микротрещин. В чистых монокристаллах, не содержащих частиц выделений, в качестве мест образования зародышей пор рассматриваются скопления деформационных вакансий [8,9], границы дислокационных ячеек [2], места пересечения плоскостей [10] и полос [11,12] скольжения.

Рост и коалесценция пор под действием растягивающего напряжения отраженной от тыльной поверхности кристалла ударной волны сопровождаются отколом (пластическим отрывом) части кристалла, примыкающей к этой поверхности. До сих пор неясно, какой из этих процессов — зарождение нанопор, их рост или коалесценция — определяет такие измеряемые экспериментально макрохарактеристики откольного разрушения, как напряжение  $\sigma_f$ , деформация  $\varepsilon_f$  и время  $t_f$  откола. В настоящей работе этот вопрос рассмотрен на примере монокристаллических образцов металлов с ГЦК- и ОЦК-решетками при чисто пластическом механизме откольного разрушения. Анализ экспериментальных данных [3,13–16] базируется на дислокационно-кине-

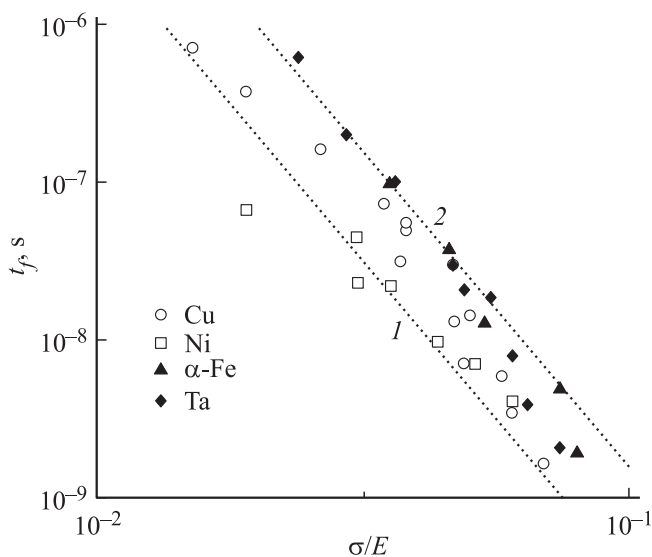
тической модели [17,18] образования и распространения ударных волн в рассматриваемых кристаллах.

### 2. Время и деформация откольного разрушения.

В ударно-волновых экспериментах обычно определяют напряжение  $\sigma_f$  и скорость  $\dot{\varepsilon}$  откольного разрушения путем анализа скорости смещения свободной поверхности образца при выходе на нее волны сжатия. В работе [16] в дополнение к этому было определено также время откольного разрушения  $t_f$  от момента нагружения кристалла ударом до момента потери связи с ним отколовшегося сегмента. На рис. 1 для монокристаллических образцов ГЦК- (Cu, Ni) и ОЦК- ( $\alpha$ -Fe, Ta) металлов приведены данные [16] по зависимости времени откольного разрушения  $t_f$  от давления в ударной волне в координатах  $\lg t_f - \lg(\sigma/E)$ , где  $E$  — модуль упругости, соответствующего металла (см. таблицу). На рис. 1 линии 1 и 2 ограничивают область времен  $t_f$ , содержащую основной массив экспериментальных точек, и описываются соотношениями

$$t_{f1} = K_{f1} \left( \frac{E}{\sigma} \right)^4, \quad t_{f2} = K_{f2} \left( \frac{E}{\sigma} \right)^4, \quad (1)$$

где  $K_{f1} = 3.2 \cdot 10^{-14}$  с,  $K_{f2} = 16 \cdot 10^{-14}$  с,  $K_{f2}/K_{f1} = 5$ . В таблице приведены также значения коэффициентов для исследованных металлов, найденные с помощью аппроксимации зависимостей  $t_f(\sigma)$  степенным законом  $t_f = K_f (E/\sigma)^4$ , аналогичным (1).



**Рис. 1.** Зависимость времени откольного разрушения кристаллов Cu, Ni,  $\alpha$ -Fe и Ta от давления в ударной волне [16]. Линии 1 и 2 — расчет согласно соотношениям (1).

На степенной характер зависимости времени откольного разрушения от давления было ранее обращено внимание в [17]. Там же было сделано предположение, что она обусловлена степенной зависимостью скорости пластической деформации  $\dot{\epsilon}$  от давления (соотношение Свигла–Грэди [13,14])

$$\dot{\epsilon} = K_{\sigma} \left(\frac{\sigma}{E}\right)^4. \quad (2)$$

В таблице приведены значения коэффициентов  $K_{\sigma}$ , найденные в [17] при обработке данных [13–15] для кристаллов Cu,  $\alpha$ -Fe и Ta. Согласно [4,17–19], степенная зависимость скорости пластической деформации от давления вызвана кубической зависимостью плотности геометрически необходимых (ГН) дислокаций  $\rho_G$ , генерируемых на фронте ударной волны, от давления

$$\frac{\rho_G}{\rho_{G0}} = \frac{1}{(3\chi)^3} \left(\frac{\sigma}{E}\right)^3 = \left(\frac{\epsilon_G}{3}\right)^3, \quad (3)$$

$$\rho_{G0} = \frac{\pi^2}{0.8\sqrt{2}(1-\nu)b^2} \approx \frac{13}{b^2}$$

(где  $\chi = 3(1-\nu)/(1+\nu)$ ,  $\nu$  — коэффициент Пуассона,  $b$  — вектор Бюргерса,  $\epsilon_G = \ln(V_0/V)$  — величина несоответности деформаций сжатой (удельный объем  $V$ ) и не претерпевшей еще сжатие (удельный объем  $V_0$ ) областей кристалла) и линейной зависимостью скорости дислокаций  $u$  от напряжения сдвига при вязком механизме их торможения  $u = (b/B)\tau$ ,

$$\tau = m \frac{1-2\nu}{1-\nu} \sigma. \quad (4)$$

Здесь  $\tau$  — касательное напряжение при одноосном характере удара,  $B$  — коэффициент вязкого торможения

Значения коэффициентов в формулах (1), (2) и (5) для различных металлов

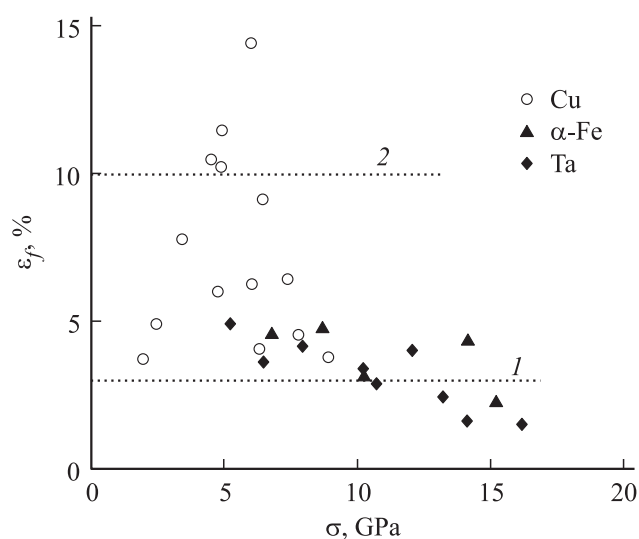
Параметр	Cu [13]	$\alpha$ -Fe [14]	Ta [15]
$K_f \cdot 10^{14}, s$	3.9	16.0	16.0
$K_{\sigma} \cdot 10^{-12}, s^{-1}$	1.0	0.2	0.29
$\epsilon_f, \%$	3.9	3.2	4.6
$E, GPa$	128	210	190

дислокаций,  $m = 0.41$  — ориентационный фактор при направлении удара вдоль оси [100] кристалла. В результате в соответствии с формулой Орована для скорости пластической деформации  $\dot{\epsilon} = mb\rho_G u$  получаем соотношение (2).

Предполагая далее, что деформация откольного разрушения  $\epsilon_f$  определяется скоростью пластической деформации (2) и временем откольного разрушения (1), имеем для нее соотношение

$$\epsilon_f = \dot{\epsilon} t_f = K_{\sigma} K_f. \quad (5)$$

На рис. 2 приведены результаты расчета деформации  $\epsilon_f$  согласно соотношению (5). Значения коэффициентов  $K_{\sigma}$  для кристаллов Cu,  $\alpha$ -Fe и Ta из таблицы умножались на приведенные на рис. 1 значения времен  $t_f$  соответствующих кристаллов. Видно, что основной массив расчетных точек находится в диапазоне деформаций  $\epsilon_f = 3-10\%$  (линии 1 и 2). Ширина этого диапазона определяется главным образом большим разбросом точек для монокристаллов меди. Для кристаллов  $\alpha$ -Fe и Ta разброс меньше и составляет  $\pm 1\%$ . В таблице приведены усредненные значения деформаций откольного разрушения  $\epsilon_f$



**Рис. 2.** Зависимость деформации откольного разрушения кристаллов Cu,  $\alpha$ -Fe и Ta от давления в ударной волне: расчет согласно соотношению (5) с использованием экспериментальных данных [13–16] (см. таблицу и рис. 1). Линии 1 и 2 — границы области основного массива экспериментальных точек.

для рассматриваемых металлов. Они располагаются в более узком интервале деформаций 3–5%. Отметим также, что в согласии с соотношением (5) деформации  $\varepsilon_f$  практически не зависят от давления.

### 3. Пластический рост и коалесценция пор

Какая из упомянутых выше трех стадий откольного разрушения вносит основной вклад в деформацию  $\varepsilon_f$ ? Фрактографический анализ ямочной (dimple) структуры поверхностей откольного разрушения кристаллов меди показывает [16], что в момент откола, т.е. при коалесценции пор, между размером пор  $D_f$  и средним расстоянием между ними  $L_f$  существует эмпирическое соотношение, не зависящее от давления,

$$L_f = 3D_f. \quad (6)$$

Наблюдения, моделирование методом молекулярной динамики и расчеты показывают, что вокруг каждой растущей поры как концентратора напряжений существует область локализованной деформации шириной  $\sim D$  в виде эмитированных порой дислокаций [8–10] и линий скольжения [16]. Из соотношения (6) следует, что коалесценция пор начинается, когда области локализованной деформации вокруг соседних пор соприкасаются. Очевидно, что до тех пор, пока зародыши пор не вырастут до указанных размеров и расстояния между ними, откольное разрушение кристалла не происходит.

Чтобы количественно проанализировать это обстоятельство, рассмотрим две модели пластического роста пор с учетом особенностей нагружения кристалла ударной волной: модель Макклинтонского роста пор в полосе скольжения [12] и модель локализованного роста пор как концентраторов напряжения [8,9]. В обоих случаях при рассмотрении используется дислокационно-кинетическая модель образования и распространения ударных волн в металлических кристаллах [17–20].

3.1. Пора в полосе скольжения. Модель Макклинтонского предполагает, что зародыши пор размером  $D_0$  образуются в полосе скольжения и увеличивают свой размер  $D$  с ростом степени пластической деформации  $\varepsilon$  согласно уравнению

$$\ln \left( \frac{D}{D_0} \right) = \frac{\varepsilon}{1-n} \operatorname{sh} \left( \frac{(1-n)\sigma}{\tau} \right), \quad (7)$$

где  $\sigma$  и  $\tau$  — действующие в полосе напряжения растяжения и сдвига соответственно,  $\varepsilon = m\gamma$ ,  $\gamma$  — сдвиговая деформация,  $n$  — показатель степени в законе деформационного упрочнения кристалла  $\tau \sim (\varepsilon)^n$ . Модель предполагает, что пора имеет двумерный в плоскости  $xu$  и протяженный в направлении оси  $z$  характер. На ударном фронте, согласно (4), отношение напряжений растяжения и сдвига в полосе  $\sigma/\tau$  равно  $\sim 5$  при  $\nu = 0.34$ . Скорость роста поры с деформацией зависит также от

показателя степени  $n$ , т.е. от закона деформационного упрочнения кристалла на фронте волны.

В случае интенсивного ударно-волнового нагружения монокристаллических образцов ГЦК- и ОЦК-металлов, как уже отмечалось выше, на фронте ударной волны (по традиционной терминологии упругом предвестнике) образуются ГН-дислокации в виде расширяющихся дислокационных петель [19]. В компланарных плоскостях скольжения винтовые участки петель могут аннигилировать путем поперечного скольжения, а в некомпланарных, пересекающихся плоскостях скольжения — размножаться друг на друге как на дислокациях леса. На фронте ударной волны доминирует аннигиляция дислокаций. В результате имеем следующее кинетическое уравнение для плотности дислокаций  $\rho$ :

$$\frac{d\rho}{dt} = \left( \frac{d\rho}{dt} \right)_G - h_a c \rho^2, \quad (8a)$$

где с учетом (3) скорость генерации ГН-дислокаций определяется соотношениями

$$\left( \frac{d\rho}{dt} \right) = \rho_{G0} \left( \frac{\varepsilon_G}{3} \right)^2 \dot{\varepsilon}_G = \rho_{G0} \left( \frac{\rho}{\rho_{G0}} \right)^{2/3} \dot{\varepsilon}_G. \quad (8b)$$

Второе слагаемое в правой части (8a) описывает скорость аннигиляции винтовых участков дислокационных петель,  $h_a = b k_a$ ,  $k_a$  — коэффициент аннигиляции дислокаций. Производную по времени от плотности дислокаций  $\rho$  в левой части уравнения (8a) можно преобразовать к виду  $d\rho/dt = (d\rho/d\varepsilon)\dot{\varepsilon}$ , где  $\dot{\varepsilon}_G = \dot{\varepsilon} = m b \rho v$  — скорость пластической деформации. После подстановки найденных соотношений в (8a) получаем уравнение

$$m \frac{d\rho}{d\varepsilon} = \rho_{G0} \left( \frac{\rho}{\rho_{G0}} \right)^{2/3} - k_a \rho. \quad (9a)$$

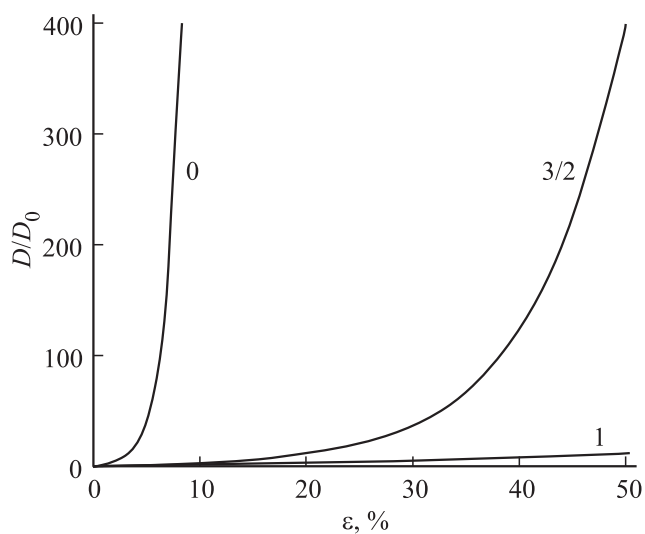
Интегрируя его с помощью подстановки  $\rho = \psi^3$ , находим зависимость плотности ГН-дислокаций от величины пластической деформации  $\varepsilon$

$$\rho(\varepsilon) = \rho_m \left[ 1 - \exp \left( -\frac{1}{3m} k_a \varepsilon \right) \right]^3. \quad (9b)$$

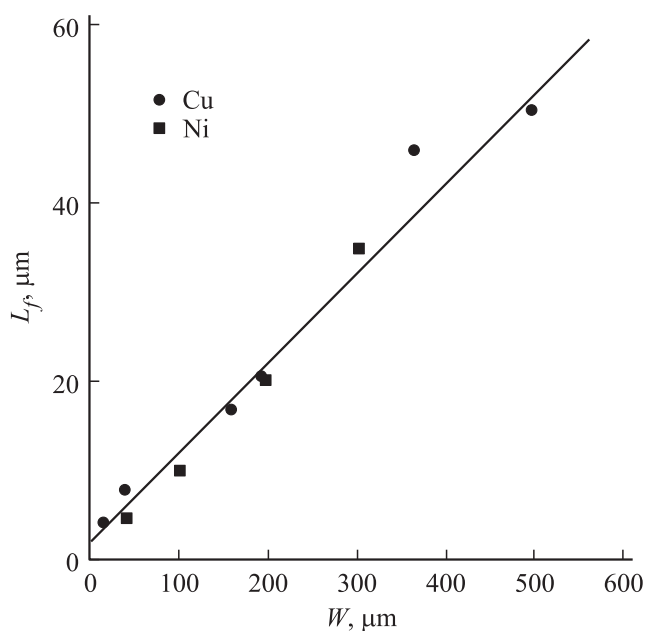
Из решения (9b) следует, что при деформациях  $\varepsilon \ll 3m/k_a$  плотность дислокаций изменяется с деформацией по кубическому закону  $\rho \sim \varepsilon^3$ , а при деформациях  $\varepsilon \gg 3m/k_a$  стремится к постоянной величине  $\rho_m = \rho_{G0}/k_a^3$ . Подставляя плотность дислокаций (9b) в формулу Тейлора для деформационного (дислокационного) упрочнения  $\sigma = \tau m \mu b \rho^{1/2}$ , находим зависимость деформирующего напряжения от величины пластической деформации на фронте ударной волны

$$\sigma(\varepsilon) = \sigma_m \left[ 1 - \exp \left( -\frac{1}{3m} k_a \varepsilon \right) \right]^{3/2}, \quad (10)$$

где  $\sigma_m = \tau m \mu b \rho_m^{1/2}$ . Аппроксимируя далее напряжение (10) степенным законом  $\sigma \sim \varepsilon^n$ , получаем следующую



**Рис. 3.** Относительное увеличение размера пор  $D/D_0$  с деформацией согласно уравнению (7). Числа около кривых — показатель степени  $n$  в законе деформационного упрочнения кристалла  $\tau \sim \epsilon^n$ .



**Рис. 4.** Зависимость расстояния между порами  $L_f$  на откольной поверхности кристаллов Cu и Ni от толщины кристаллов  $W$  [16].

щую зависимость показателя степени  $n = d \ln \sigma / d \ln \epsilon$  от деформации:

$$n(\epsilon) = \frac{(k_a/2m)\epsilon}{\exp\left(\frac{1}{3m} k_a \epsilon\right) - 1} \quad (11)$$

При малых деформациях ( $\epsilon \ll 3m/k_a$ )  $n = 3/2$ , а при больших ( $\epsilon \gg 3m/k_a$ )  $n \rightarrow 0$ . На рис. 3 показаны кривые роста относительного размера пор  $D/D_0$  с

ростом величины деформации согласно уравнению (7) при трех значениях показателя степени:  $n = 3/2, 1$  и  $0$  (числа около кривых). Видно, что в отсутствие ( $n = 0$ ) деформационного упрочнения для увеличения размера пор в  $10^2-10^3$  раз по сравнению с начальным их размером  $D_0$  требуются деформации 5–10%, сопоставимые с откольными деформациями на рис. 2. Наличие деформационного упрочнения на порядок увеличивает эту деформацию (кривые  $n = 3/2$  и 1).

Чтобы количественно сопоставить модель (7) с приведенными на рис. 2 результатами экспериментов, необходимо, согласно соотношению (6), знать среднее расстояние между зародышами пор  $L$ . Для этого воспользуемся данными фрактографического анализа поверхностей откольного разрушения кристаллов Cu и Ni [16] (рис. 4). Рисунок демонстрирует, что при отколе между толщиной кристалла  $W$  и расстоянием между соседними порами  $L_f$  существует эмпирическое соотношение

$$L_f = 2 + 0.1W, \quad (12)$$

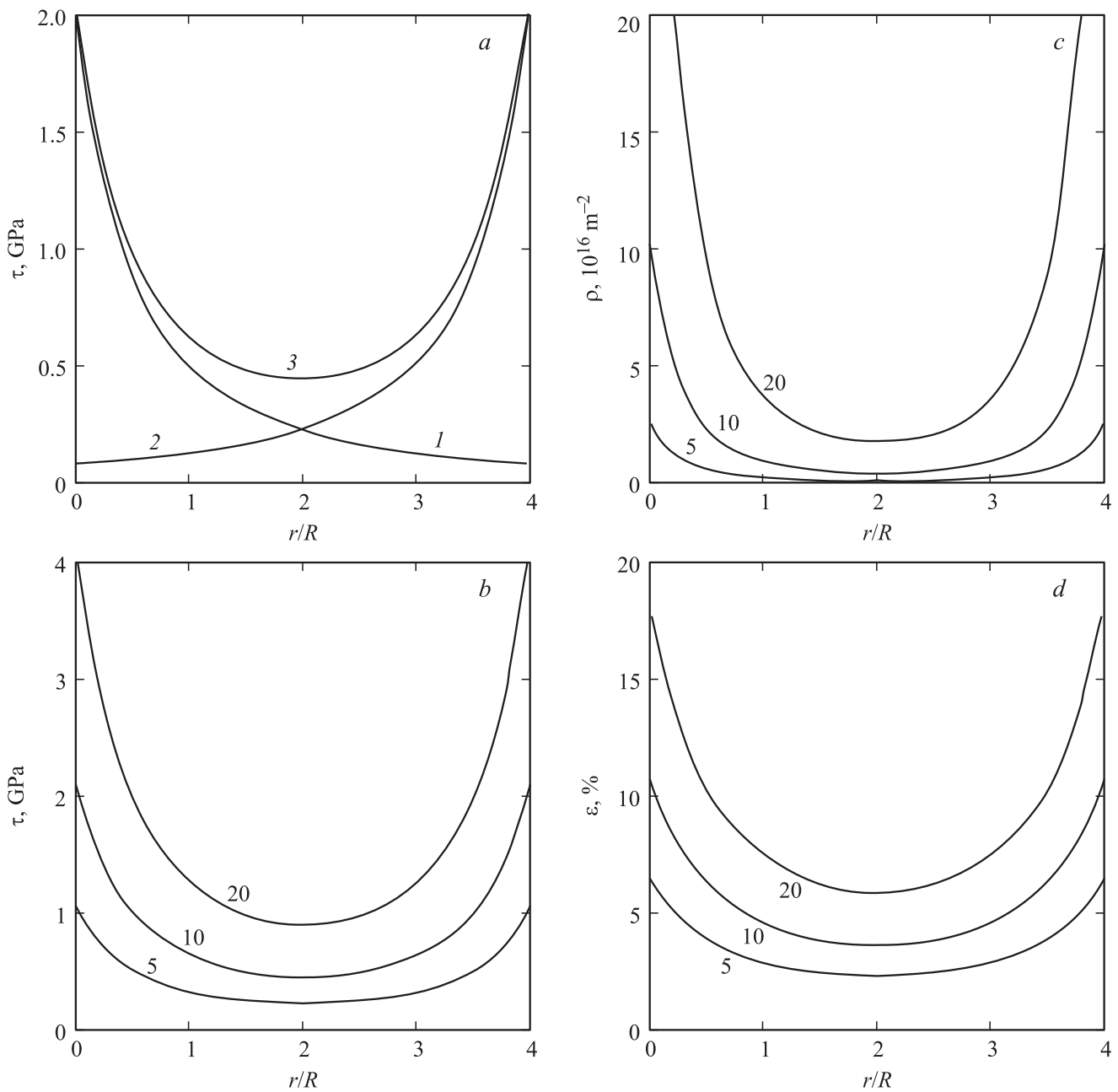
причина появления которого требует отдельного рассмотрения. При толщине кристаллов меди  $W = 50-500 \mu\text{m}$  [16] расстояние между порами  $L_f$ , согласно (12), составляет  $\sim 7-52 \mu\text{m}$ ; следовательно, критический размер пор, когда начинается их коалесценция, согласно соотношению (6), равен  $2.3-17 \mu\text{m}$ . Если зародышами пор являются тривакансии размером  $D_0 \approx 1 \text{ nm}$  или нанопоры в полосах скольжения (стенках и стыках дислокационных ячеек) размером  $10 \text{ nm}$ , то, согласно приведенному расчету (рис. 3), для достижения порами размеров  $2.3-17 \mu\text{m}$  требуется их увеличение в  $10^2-10^3$  раз. Из рисунка видно, что такое увеличение в диапазоне деформаций 5–15% достижимо только при очень низком уровне (отсутствии) деформационного упрочнения или при высокой степени локализации деформации в полосах скольжения и относительно малом их числе в кристалле. При ударно-волновом воздействии на кристалл последняя ситуация может возникнуть в специфических условиях образования адиабатических линий скольжения [21] из-за сильного локального разогрева кристалла, снижающего степень его деформационного упрочнения.

**3.2. Модель локализации деформации около пор.** Эта модель предполагает, что вокруг каждой поры как концентратора напряжений существует область локализованной деформации. Упругие напряжения вокруг поры при плоском характере деформации описываются уравнениями [8]

$$\sigma_r = \sigma \left(1 - \frac{R^2}{r^2}\right), \quad \sigma_\theta = \sigma \left(1 + \frac{R^2}{r^2}\right),$$

$$\tau_{r\theta} = \frac{\sigma_\theta - \sigma_r}{2} = \sigma \frac{R^2}{r^2}, \quad (13)$$

где  $\sigma_r, \sigma_\theta$  и  $\tau_{r\theta}$  — соответственно радиальное, окружное и касательное напряжения около поры,  $R = D/2$  — радиус поры,  $\sigma$  — отрицательное давление в отраженной от



**Рис. 5.** Распределение касательных напряжений между порами при давлении 10 GPa (пояснение кривых дано в тексте) (а) и давлениях 5, 10 и 20 GPa (числа около кривых) (b) согласно формулам (14); распределение плотности дислокаций (с) и деформаций (d) при давлениях 5, 10 и 20 GPa согласно формулам (16) и (18а) соответственно. Расстояние между центрами пор  $L = 6R$ .

тыльной поверхности кристалла волне,  $r$  — радиальная координата. На рис. 5,а кривые 1 и 2 показывают распределение касательных напряжений  $\tau \equiv \tau_{r\theta}$  (13) вблизи двух соседних пор, центры которых находятся друг от друга на расстоянии  $L = 3D = 6R$ ,

$$\tau_1(r) = \eta \left( \frac{R}{r+R} \right)^2 \sigma, \quad \tau_2(r) = \eta \left( \frac{R}{L-(r+R)} \right)^2 \sigma \quad (14)$$

при давлении  $\sigma = 10$  GPa; коэффициент  $\eta = m(1 - 2\nu)/(1 - \nu)$  учитывает соотношение (4) между касатель-

ной компонентой напряжений и давлением в отраженной от тыльной поверхности кристалла волне. Кривая 3 на этом рисунке иллюстрирует сумму напряжений (14)  $\tau = \tau_1 + \tau_2$ , а кривые на рис. 5, b демонстрируют распределение напряжений  $\tau$  между порами с ростом давления в волне (указано около кривых в GPa).

Согласно [8,9], поры увеличивают свои размеры путем эмиссии с их поверхности дислокаций. При размере пор  $R \gg 10b$  для эмиссии дислокаций требуется критиче-

ское напряжение

$$\sigma_c = \frac{\mu}{4\pi(1-\nu)} \frac{b}{w}, \quad (15)$$

где  $w = (1-2)b$  — ширина ядра дислокации. При  $w = 2$  и  $\nu = 0.34$   $\sigma_c \approx 0.06\mu$ , что не сильно отличается от напряжения гомогенного зарождения дислокаций  $\sigma_c = 0.04\mu$ , использованного в [4,19] при оценке плотности ГН-дислокаций  $\rho_G$  согласно (3). Эмиссия дислокаций сопровождается релаксацией упругих напряжений. С ростом плотности дислокаций происходит полная релаксация касательных напряжений, а также деформационное упрочнение области локализованной деформации вследствие взаимодействия дислокаций. Приравнивая сумму упругих напряжений (14) к напряжению деформационного упрочнения  $\tau = \alpha\mu b\rho^{1/2}$ , находим распределение плотности дислокаций между соседними порами

$$\rho(r, R, L, \sigma) = \left( \frac{\tau(r, R, L, \sigma)}{\alpha\mu b} \right)^2. \quad (16)$$

Оно зависит от размера пор  $D = 2R$ , расстояния между ними  $L$  и давления в волне ( $\alpha$  — коэффициент взаимодействия дислокаций,  $\mu$  — модуль сдвига). Рис. 5, *c* демонстрирует это распределение при  $L = 3D$  применительно к данным для кристаллов меди ( $b = 0.256$  nm,  $\mu = 128$  GPa,  $\alpha = 0.2$ ) при трех значениях давления (числа около кривых).

Согласно (9b), при интенсивном ударе для создания плотности дислокаций  $\rho$  требуется деформация

$$\varepsilon = \frac{3m}{k_a} \ln \frac{1}{1 - (\rho/\rho_m)^{1/3}}. \quad (17)$$

Подставляя в (17) плотность дислокаций (16), находим распределение пластической деформации между порами в зависимости от размера пор, расстояния между ними и величины давления

$$\varepsilon(r, R, L, \sigma) = \frac{3m}{k_a} \ln \left( \frac{1}{1 - \frac{k_a}{(\rho_{G0}b^2)^{1/3}} \left( \frac{\tau(r, R, L, \sigma)}{\alpha\mu} \right)^{2/3}} \right). \quad (18a)$$

На рис. 5, *d* приведено распределение деформации в интервале между порами применительно к данным для кристаллов меди при  $L = 3D = 6R$ ,  $k_a = 2$  и трех значениях давления (числа около кривых). Комбинация параметров под знаком логарифма в уравнении (18a), как показывает расчет, существенно меньше единицы. В результате имеем следующую зависимость деформации между порами от давления:

$$\varepsilon(r, R, L, \sigma) \approx \frac{3m}{(\rho_{G0}b^2)^{1/3}} \left( \frac{\tau(r, R, L, \sigma)}{\alpha\mu} \right)^{2/3} \sim \sigma^{2/3}. \quad (18b)$$

Она соответствует закону деформационного упрочнения с показателем степени  $n = 3/2$ , т.е. определяется генерацией ГН-дислокаций на фронте ударной волны.

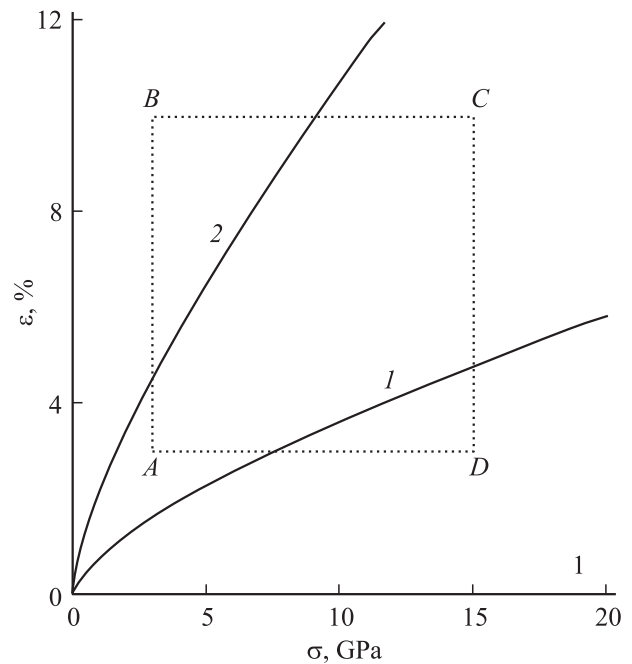


Рис. 6. Зависимость деформации от давления в волне в двух характерных точках  $r = 2R$  (1) и  $r = 0$  (2) перемычки между порами (рис. 5, *d*). Пунктирные линии между точками A, B, C, D — контур области расположения основного массива экспериментальных точек на рис. 2.

#### 4. Обсуждение результатов

Анализ показывает, что модель пор как концентраторов напряжений более соответствует эксперименту, чем модель роста пор в полосе скольжения. На рис. 6 кривые иллюстрируют зависимость локальной деформации от давления согласно уравнению (18a) в двух характерных точках перемычки между порами (рис. 5, *d*):  $r = 2R$  (кривая 1) и  $r = 0$  (кривая 2). Видно, что обе деформации находятся в рамках массива экспериментальных точек на рис. 2. На рис. 6 границы этого массива обозначены пунктирными линиями между точками A, B, C, D.

Распределение деформации в промежутке между порами зависит от расстояния между ними  $L$  и размера пор  $D$ . Прежде чем расстояние между порами достигнет критического соотношения (6), поры должны вырасти от начального размера  $D_0 \ll D_f$  до размера  $D_f$ , удовлетворяющего этому соотношению, при исходном постоянном расстоянии между порами  $L_0 \gg L_f$ . На рис. 7, *a* и *b* кривые демонстрируют в координатах  $\tau - r/D_0$  и  $\varepsilon - r/D_0$  соответственно зависимость касательных напряжений

$$\tau(r, D, L_0) = \tau_1(r, D) + \tau_2(r, D, L_0), \quad (19a)$$

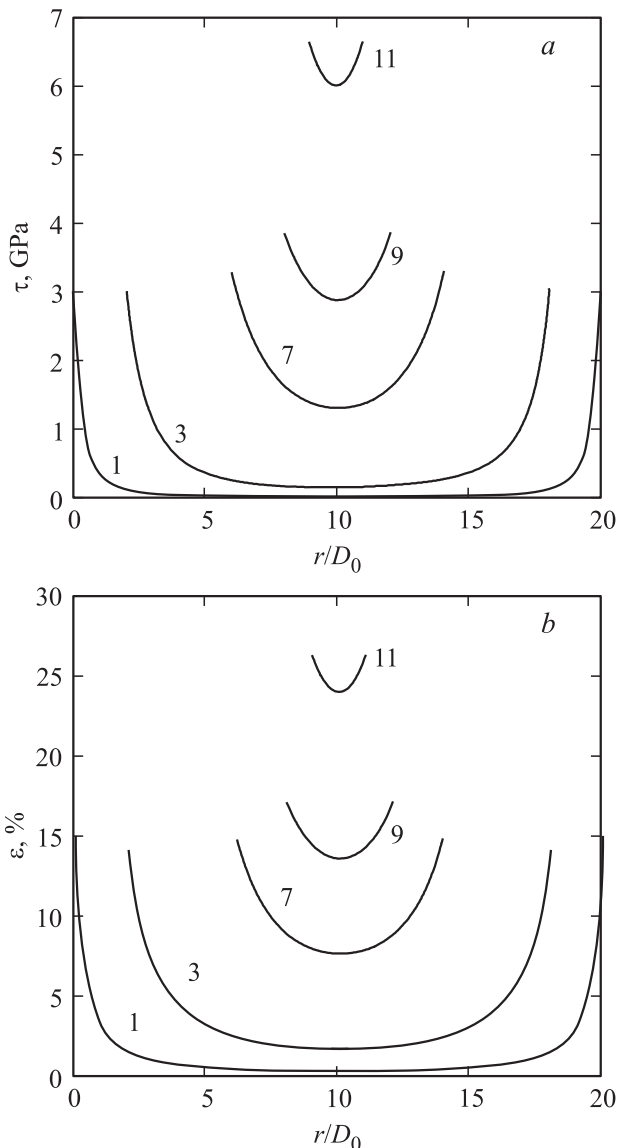
где

$$\begin{aligned} \tau_1(r, D) &= \eta \left( \frac{D/2}{r - D/2 + 1} \right)^2 \sigma, \\ \tau_2(r, D, L_0) &= \eta \left( \frac{D/2}{L_0 - r - D/2} \right)^2 \sigma, \end{aligned} \quad (19b)$$

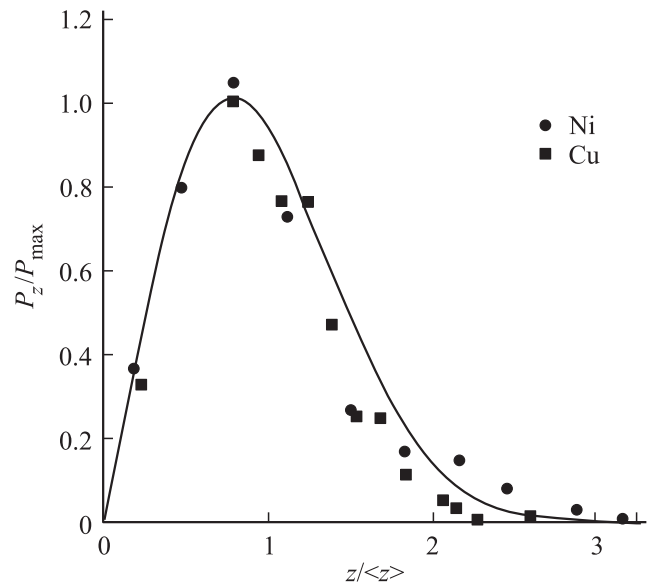
и деформаций

$$\varepsilon(r, D, L_0) = \frac{3m}{k_a} \ln \left( \frac{1}{1 - \frac{k_a}{(\rho_{c0} b^2)^{1/3}} \left( \frac{\tau(r, D, L_0)}{\alpha \mu} \right)^{2/3}} \right) \quad (20)$$

от расстояния  $r$  при  $L_0 = 21D_0$  и давлении  $\sigma = 15$  ГПа. Числа около кривых — относительный размер пор  $D/D_0 = 1, 3, 7, 9$  и  $11$ . Отношение расстояния между порами  $L_0$  к их размерам составляет при этом  $L_0/D = 21, 7, 3, 2.3$  и  $1.9$  соответственно. Обращает на себя внимание то, что при  $L_0/D > 3$  напряжения



**Рис. 7.** Распределение касательных напряжений согласно формулам (19) (а) и деформаций согласно соотношению (20) (б) в промежутках между порами с ростом их относительного размера  $D/D_0$  (числа около кривых) при давлении 15 ГПа и начальном соотношении между зародышами пор и расстоянием между ними  $L_0/D_0 = 21$ .



**Рис. 8.** Распределение пор по размерам на поверхности откольного разрушения кристаллов Cu [16] и распределение расстояний между стенками дислокационных ячеек при высокоскоростном деформировании поликристаллического Ni [22] в приведенных координатах (см. текст). Кривая — распределение Рэлея (21) в координатах  $P(z)/P_{\max} - z/\langle z \rangle$ .

и деформации в области перемычки (ligament) между порами  $\Delta L = L_0 - D$  сильно увеличиваются по мере ее укорачивания вследствие сложения касательных напряжений от двух соседних концентраторов напряжений. Относительное сужение перемычки  $\Delta L/D$  равно соответственно 21, 6, 2, 1.3, 0.9. Процесс коалесценции пор и образование откольной макротрещины заканчиваются при  $\Delta L/D = 1$ , т.е. при слиянии соседних пор.

Результаты фрактографического анализа подвергнутых удару кристаллов Cu показывают, что на поверхности откольного разрушения существует распределение пор по размерам  $D_f$  [16]. На рис. 8 эти результаты приведены в координатах  $N^{(f)}/N_{\max}^{(f)} - D_f/\langle D_f \rangle$ , где  $N^{(f)}$  — число пор с данным размером,  $N_{\max}^{(f)}$  — число пор, соответствующее максимуму их распределения,  $\langle D_f \rangle$  — средний размер пор. На рис. 8 представлено также распределение расстояний между стенками дислокационных ячеек  $D_c$  в пластически деформированных кристаллах Ni<sup>1</sup> в приведенных координатах  $N^{(c)}/N_{\max}^{(c)} - D_c/\langle D_c \rangle$  [22,23], где символы имеют тот же смысл, что и при распределении пластических пор по размерам. Кривая на рис. 8 иллюстрирует в координатах  $P(z)/P_{\max} - z/\langle z \rangle$  распределение Рэлея

$$P(z) = \frac{\pi}{2} z \exp \left( -\frac{\pi}{4} z^2 \right), \quad (21)$$

где  $P_{\max} = (\pi/2)^{1/2} \exp(-1/2) = 0.76$ ,  $\langle z \rangle = 1$ ,  $z_{\max} = (2/\pi)^{1/2} \approx 0.8$ . Это распределение, согласно [22,23],

<sup>1</sup> Данных о распределении дислокационных ячеек по размерам в кристаллах меди обнаружить, к сожалению, не удалось.

описывает не только распределение дислокационных ячеек по размерам, но и распределение дислокационных блоков по размерам и угловым разориентациям при больших степенях пластической деформации. Независимость этих распределений от деформации указывает на существование скейлинга при формировании дислокационных структур в кристалле, их самоорганизации и самоподобия.

Как видно из рис. 8, распределение пор по размерам на откольной поверхности кристалла меди также подчиняется распределению Рэлея в пределах разброса экспериментальных точек. На существование процессов самоорганизации и самоподобия при откольном разрушении указывает также наличие эмпирических соотношений (6) и (9), не зависящих от давления и деформации. Все эти обстоятельства свидетельствуют о корреляции процессов зарождения нанопор и их роста с процессом пластической деформации (в данном случае в специфических условиях ударно-волнового нагружения кристалла).

Требует обсуждения также вопрос о характере откольного разрушения кристаллов с ОЦК-решеткой. Из представленных на рис. 1 и 2 экспериментальных данных для кристаллов  $\alpha$ -Fe и Ta следует, что они подчиняются тем же закономерностям, что и металлы с ГЦК-решеткой (Cu и Ni). Поскольку с ростом скорости деформации напряжение Пайерлса увеличивается, то, казалось бы, характер разрушения при ударе должен измениться: вместо вязкого (пластичного) стать хрупким, а вместо пор должны зарождаться острые микротрещины скола. Возможное объяснение отсутствия такого перехода — температурная компенсация скоростного прироста напряжения Пайерлса как результат повышения температуры кристалла в местах локализации деформации из-за диссипации энергии дислокациями, вызывающего снижение напряжения Пайерлса и затупление микротрещин.

## 5. Заключение

Таким образом, выполненный в работе анализ показывает следующее.

1. Время разрушения  $t_f$  металлических кристаллов как с ГЦК-, так и с ОЦК-решеткой при ударно-волновом их нагружении контролируется скоростью пластической деформации  $\dot{\epsilon}$ . Это время тем меньше, чем больше скорость деформации и давление:  $t_f \sim \dot{\epsilon}^{-1} \sim \sigma^{-4}$ . Деформация откольного разрушения  $\epsilon_f = \dot{\epsilon} t_f \approx 3\text{--}5\%$  определяется деформацией начала коалесценции пластических пор и не зависит от давления.

2. Зародыши пор и растущие поры являются концентраторами напряжений и местами локализации пластической деформации. Коалесценция пор и формирование откольной трещины являются результатом локализации деформации в перемычке между соседними порами при сужении перемычки до размера  $(2\text{--}3)D$ , где  $D$  — текущий размер поры.

3. Сравнение результатов фрактографического анализа поверхностей откольного разрушения на предмет распределения пор по размерам и результатов электронного микроскопического анализа распределения дислокационных ячеек по размерам показывает, что эти распределения близки друг к другу. Поскольку стенки дислокационных ячеек являются местами локализации деформации на микроуровне, это обстоятельство указывает на корреляционную связь процессов зарождения и роста пор с распределением пластической деформации в кристалле и самоорганизацией дислокационных структур, их скейлингом и самоподобием.

## Список литературы

- [1] T. Antuan, L. Seaman, D.R. Curran, G.I. Kanel, S.V. Razorenov, A.V. Utkin. Spall fracture. Springer, N.Y. (2003). 404 p.
- [2] A.G. Perez-Bergquist, E.K. Cerreta, C.P. Trujillo, F. Cao, G.T. Gray III. Scripta Mater. **65**, 1069 (2011).
- [3] Г.И. Канель, В.Е. Фортов, С.В. Разоренов. УФН **177**, 809 (2007).
- [4] M.A. Meyers, H. Jarmakani, E.M. Bringa, B.A. Remington. Dislocations in solids / Eds J.P. Hirth, L. Kubin. Horth Holland (2009). V. 15. Ch. 89. P. 96.
- [5] А.Ю. Куксин, В.В. Стегайлов, А.В. Янилкин. ФТТ **50**, 1984 (2008).
- [6] G.I. Kanel, S.V. Razorenov, K. Baumung, J. Singer. J. Appl. Phys. **90**, 136 (2001).
- [7] R.G. Minich, J.U. Cazamias, M. Kumar, A.J. Schwartz. Metall. Mater. Trans. **35A**, 2663 (2004)
- [8] V.A. Lubarda, M.S. Shneider, D.H. Kalantar, V.A. Remington, M.A. Meyers. Acta Mater. **52**, 1397 (2004).
- [9] Y. Tang, E.M. Bringa, M.A. Meyers. Acta Mater. **60**, 4865 (2012).
- [10] П.А. Жилиев, А.Ю. Куксин, В.В. Стегайлов, А.В. Янилкин. ФТТ **52**, 1508 (2010).
- [11] Р.Дж. Стокс. Разрушение. Мир, М. (1976). Ч. 1. Гл. 3. С. 129.
- [12] Ф. Макклинток. Разрушение. Мир, М. (1976). Т. 3. Гл. 2. С. 66.
- [13] J.W. Swegle, D. Grady. J. Appl. Phys. **58**, 692 (1985).
- [14] D. Grady. J. Appl. Phys. **107**, 013 506 (2010).
- [15] С.В. Разоренов, Г.И. Канель, Г.В. Гаркушин, О.Н. Игнатова. ФТТ **54**, 742 (2012).
- [16] А.Я. Учаев, Р.И. Ильичев, В.Т. Пунин, С.А. Новиков, Л.А. Платонов, Н.И. Сельченкова. Вopr. атом. науки и техники. Материаловедение и новые материалы **1** (62), 246 (2004).
- [17] Г.А. Малыгин, С.Л. Огарков, А.В. Андрияш. ФТТ **55**, 715 (2013).
- [18] Г.А. Малыгин, С.Л. Огарков, А.В. Андрияш. ФТТ **55**, 2168 (2013).
- [19] C.H. Lu, B.A. Remington, B.R. Maddox, B. Cad, H.S. Park, S.T. Prisbrey, M.A. Meyers. Acta Mater. **60**, 6601 (2012).
- [20] Г.А. Малыгин, С.Л. Огарков, А.В. Андрияш. ФТТ **56**, 2168 (2014).
- [21] R.W. Armstrong, S.M. Waley. Int. Mater. Rev. **53**, 105 (2008).
- [22] H.W. Zhang, X. Huang, N. Hansen. Acta Mater. **56**, 5451 (2008).
- [23] Z.P. Luo, H.W. Zhang, N. Hansen, K. Lu. Acta Mater. **60**, 1322 (2012).